

## Определение конечного равновесного радиуса неподстроенного к равновесным условиям релятивистского электронного пучка при транспортировке в режиме ионной фокусировки

© Е.К. Колесников, А.С. Мануйлов

Санкт-Петербургский государственный университет, Научно-исследовательский институт математики и механики им. В.И. Смирнова,  
198504 Санкт-Петербург, Россия  
e-mail: man06@mail.ru

(Поступило в Редакцию 3 мая 2012 г.)

Получено уравнение, связывающее значение конечного равновесного радиуса параксиального азимутально-симметричного релятивистского электронного пучка, распространяющегося в режиме ионной фокусировки, с его начальным неравновесным значением. Исследована зависимость конечного равновесного радиуса и прироста среднеквадратичного эмиттанса от плотности рассеивающей фоновой среды.

### Введение

В последние годы внимание отечественных и зарубежных исследователей все больше привлекают вопросы динамики транспортировки релятивистских электронных пучков (РЭП) в режиме ионной фокусировки (ИФ) [1–20]. Режим ИФ возникает при распространении электронного пучка в разреженной газоплазменной среде, когда РЭП при входе в предварительно созданный плазменный канал вытесняет фоновые электроны из области канала. Указанный процесс происходит под действием поперечной компоненты электрического поля фронтальной части пучка. В этом случае оставшийся ионный „остов“ будет фокусировать пучок, препятствуя его поперечной дисперсии.

При экспериментальных и численных исследованиях распространения РЭП в газоплазменных средах часто наблюдается начальное отклонение параметров пучка от их равновесных значений. В частности, малое несоответствие радиуса РЭП равновесному условию при инжекции может привести к развитию резистивной или ионной перетяжечной неустойчивости пучка, которая характеризуется быстрорастущими радиальными азимутально-симметричными пульсациями [5]. Однако, как показывают численное моделирование и аналитическая теория, перетяжечная мода в широком диапазоне параметров пучка и фоновой газоплазменной среды подавляется, и пучок приходит к некоторому равновесному состоянию [4,5].

В связи с вышесказанным представляет определенный интерес теоретическое предсказание конечного равновесного радиуса РЭП на дистанции распространения, необходимой для выхода пучка к равновесию.

Настоящая работа посвящена выводу уравнений для определения конечного равновесного радиуса РЭП, распространяющегося в разреженной газоплазменной среде в случае режима ИФ.

### Постановка задачи

Рассмотрим моноскоростной азимутально-симметричный параксиальный РЭП, распространяющийся вдоль оси  $z$  цилиндрической системы координат  $(r, \theta, z)$ . Будем предполагать, что потери энергии пучка на рассматриваемых дистанциях транспортировки РЭП отсутствуют, полный ток пучка  $I_b$  является константой по времени и координаты ионного канала не зависят от времени, а именно

$$\frac{\partial \gamma}{\partial t} = 0, \quad \frac{\partial T_B}{\partial t} = 0, \quad \frac{\partial N^{(i)}}{\partial y} = 0, \quad (1)$$

где  $\gamma$  — лоренц-фактор частиц пучка,  $T_B = e\beta I_b / (2c)$  — эффективная температура Беннета,  $\beta = v_z / c$  ( $v_z$  — продольная компонента скорости электронов пучка,  $c$  — скорость света),  $e$  — заряд электрона,  $N^{(i)}$  — концентрация ионов плазменного канала, приходящаяся на единицу длины канала (погонная концентрация).

Далее будем предполагать, что среднеквадратичный радиус пучка  $\mathcal{R}_i$  при инжекции не соответствует равновесному значению  $\mathcal{R}_0$  на малую величину  $\delta\mathcal{R}_0$

$$\mathcal{R}_i = \mathcal{R}_0 + \delta\mathcal{R}_0, \quad (2)$$

где  $|\delta\mathcal{R}_0|/\mathcal{R}_0 \ll 1$ .

При выполнении условий (1) интегралом движения сегмента пучка, характеризуемого временем инжекции  $\tau$ , для рассматриваемых пучков является средняя полная поперечная энергия частицы сегмента пучка  $\Psi$ , определяемая следующим образом [4,9,10]:

$$\Psi = E_{\perp} + \Lambda_1 + \Lambda_2, \quad (3)$$

где

$$E_{\perp} = \int \frac{\chi_b \tilde{p}_{\perp}^2}{2m\gamma} d\mathbf{r}_{\perp}, \quad (4)$$

$$\Lambda_1 = -\frac{1}{2} \int \chi_b e\beta\mu_0 A_z d\mathbf{r}_{\perp}, \quad (5)$$

$$\Lambda_2 = \int \chi_b e^{\varphi^{(i)}} d\mathbf{r}_\perp, \quad (6)$$

где

$$\chi_b(\mathbf{r}_\perp, t) = \int f^\tau d\mathbf{p}_\perp, \quad \chi_b \tilde{p}_\perp^2 = \int \mathbf{p}_\perp^2 f^\tau d\mathbf{p}_\perp.$$

Здесь  $\mathbf{p}_\perp$  — вектор импульса частицы пучка в поперечной к оси  $z$  плоскости,  $f^\tau(\mathbf{r}_\perp, \mathbf{p}, t)$  — функция распределения частиц пучка по поперечным координатам и импульсам в сегменте РЭП с временем инжекции  $\tau$ ,  $A_z$  — аксиальная компонента векторного потенциала электромагнитного поля системы плазма–пучок,  $\mu_0 = -1/(\beta\gamma)^2$ ,  $\varphi^{(i)}$  — скалярный потенциал электрического поля ионного канала.

Обобщая кинетическую теорию для параксиальных РЭП на случай режима ИФ [4,9,10], можно получить уравнение эволюции поперечной полной энергии сегмента пучка в виде

$$\begin{aligned} \frac{d\Psi}{dt} = & -\frac{E_\perp}{\gamma} \frac{d\gamma}{dt} + (\Lambda_1 + \Lambda_2) \frac{d \ln(2f_n T_B / \beta)}{dt} \\ & + \Lambda_1 \frac{d}{dt} \ln \left| \frac{\beta |\mu_0|}{2f_n / \beta} \right| + \int S \chi_b d\mathbf{r}_\perp, \end{aligned} \quad (7)$$

где  $S$  — величина, характеризующая темп закачки энергии в поперечное движение частиц пучка в результате многократного кулоновского рассеяния электронов РЭП на атомах фоновой газоплазменной среды.

При наличии упрощающих предположений (1) уравнение (7) сводится к простому виду

$$\Psi_f - \Psi_i = \gamma m (\beta c)^3 \sigma_S n_g t_r, \quad (8)$$

где  $\Psi_f$  и  $\Psi_i$  — соответственно значения поперечной энергии сегмента пучка в конечном равновесном состоянии и при инжекции РЭП,  $\sigma_S$  — транспортное сечение многократного кулоновского рассеяния на малые углы частиц пучка на атомах фонового газа,  $n_g$  — концентрация атомов среды,  $t_r$  — время выхода на равновесное состояние. Из (8) следует, что при отсутствии рассеяния ( $\sigma_S = 0$ )  $\Psi$  является интегралом движения для рассматриваемого сегмента пучка. Эта ситуация для омического случая была рассмотрена в работах [7,8].

## Решение проблемы

Обратимся к выводу уравнения, связывающего конечный равновесный среднеквадратичный радиус пучка  $\mathcal{R}_f$  с начальным значением среднеквадратичного радиуса  $\mathcal{R}_i$ , который считается известным. Для этого воспользуемся уравнением огибающей пучка для среднеквадратичного радиуса. В рассматриваемом случае имеем [4,10]

$$\frac{d^2 \mathcal{R}}{dt^2} + \frac{1}{\gamma} \frac{d\gamma}{dt} \frac{d\mathcal{R}}{dt} + \frac{4\mu_0 T_B}{\gamma m \mathcal{R}} + \frac{4T_B G^{(i)}}{\gamma m \mathcal{R}} = \frac{4E^2}{\gamma^2 \mathcal{R}^3}, \quad (9)$$

где

$$G^{(i)} = \frac{e^2 \langle N^{(i)}(\mathbf{r}_\perp) \rangle_b}{T_B} = \frac{2f_n}{\beta^2} \langle \tilde{N}^{(i)}(\mathbf{r}_\perp) \rangle_b. \quad (10)$$

Здесь

$$\langle \tilde{N}^{(i)}(\mathbf{r}_\perp) \rangle_b = \int \chi_b(\mathbf{r}_\perp) N^{(i)}(\mathbf{r}_\perp) d\mathbf{r}_\perp, \quad (11)$$

$$\tilde{N}^{(i)}(\mathbf{r}_\perp) = N^{(i)} \int_\Omega \chi^i(\mathbf{r}_\perp) |\mathbf{r}_\perp| d\mathbf{r}_\perp, \quad (12)$$

$$\tilde{N}^{(i)}(\mathbf{r}_\perp) = \frac{N^{(i)}(\mathbf{r}_\perp)}{N^{(i)}}, \quad f_n = \frac{N^{(i)}}{N_b}, \quad (13)$$

$$\Omega = \{\mathbf{r}_\perp : |\mathbf{r}_\perp| \leq r, \theta \in (0, 2\pi)\}, \quad (14)$$

$$E^2 = \frac{\gamma^2 \mathcal{R}^2}{4} \left[ \frac{4E_\perp}{m\gamma} - \left( \frac{d\mathcal{R}}{dt} \right)^2 \right]. \quad (15)$$

Далее рассмотрим величину

$$\hat{\Gamma} = \frac{\Lambda_1 + \Lambda_2}{G^{(i)} T_B} - \ln \left( \frac{\mathcal{R}}{\mathcal{R}_c} \right)^2.$$

Тогда из (16)

$$\Lambda_1 + \Lambda_2 = G^{(i)} T_B \left[ \hat{\Gamma} + \ln \left( \frac{\mathcal{R}}{\mathcal{R}_c} \right)^2 \right]. \quad (17)$$

Подставим (17) в (13). В этом случае находим

$$\Psi = E_\perp + G^{(i)} T_B \left[ \hat{\Gamma} + \ln \left( \frac{\mathcal{R}}{\mathcal{R}_c} \right)^2 \right]. \quad (18)$$

С учетом (8) и (18) имеем

$$\begin{aligned} \Psi_f - \Psi_i = & E_{\perp f} - E_{\perp i} + G_f^{(i)} T_B \left[ \hat{\Gamma}_f + \ln \left( \frac{\mathcal{R}_f}{\mathcal{R}_c} \right)^2 \right] \\ & - G_i^{(i)} T_B \left[ \hat{\Gamma}_i + \ln \left( \frac{\mathcal{R}_i}{\mathcal{R}_c} \right)^2 \right] = \gamma m (\beta c)^3 \sigma_S n_g t_r. \end{aligned} \quad (19)$$

В конечном равновесном состоянии

$$\left( \frac{d\mathcal{R}}{dt} \right)_f = \left( \frac{d^2 \mathcal{R}}{dt^2} \right)_f = 0. \quad (20)$$

Ограничиваясь случаем высокорелятивистских РЭП ( $\gamma \gg 1$ ), параметром  $\mu_0$  далее будем пренебрегать. Тогда из (9) имеем

$$\frac{4T_B}{\gamma m \mathcal{R}_f} G_f^{(i)} = \frac{4E_f^2}{\gamma^2 \mathcal{R}_f^3}. \quad (21)$$

Кроме того, из (15) следует, что

$$\frac{(E_\perp)_f}{m\gamma} = \frac{E_f^2}{\gamma^2 \mathcal{R}_f^2}. \quad (22)$$

Тогда, умножая (21) на  $\mathcal{R}_f/4$  и подставляя полученный результат в (22), имеем

$$\frac{(E_{\perp})_f}{m\gamma} = \frac{T_B}{\gamma m} G_f^{(i)}. \quad (23)$$

С учетом (23) уравнение (19) принимает следующий вид:

$$\begin{aligned} \frac{E_{\perp i}}{m\gamma} - \frac{G_f^{(i)}}{m\gamma} T_B \left[ \hat{\Gamma}_f + \ln \left( \frac{\mathcal{R}_f}{\mathcal{R}_c} \right)^2 \right] + \frac{G_i^{(i)}}{m\gamma} T_B \\ \times \left[ \hat{\Gamma}_i + \ln \left( \frac{\mathcal{R}_i}{\mathcal{R}_c} \right)^2 \right] + (\beta c)^3 \sigma_S n_g t_r = \frac{T_B}{\gamma m} G_{(f)}^{(i)}. \end{aligned} \quad (24)$$

Откуда находим

$$\begin{aligned} \frac{T_B}{\gamma m} \left( G_f^{(i)} + G_f^{(i)} \hat{\Gamma}_f - G_i^{(i)} \hat{\Gamma}_i \right) + \frac{G_f^{(i)}}{m\gamma} T_B \ln \left( \frac{\mathcal{R}_f}{\mathcal{R}_c} \right)^2 \\ - \frac{G_i^{(i)}}{m\gamma} T_B \ln \left( \frac{\mathcal{R}_i}{\mathcal{R}_c} \right)^2 = \frac{E_{\perp i}}{m\gamma} + (\beta c)^3 \sigma_S n_g t_r. \end{aligned} \quad (25)$$

Умножая (25) на  $m\gamma/T_B$ , получим

$$\begin{aligned} G_f^{(i)} + G_f^{(i)} \hat{\Gamma}_f - G_i^{(i)} \hat{\Gamma}_i + G_f^{(i)} \ln \left( \frac{\mathcal{R}_f}{\mathcal{R}_c} \right)^2 \\ - G_i^{(i)} \ln \left( \frac{\mathcal{R}_i}{\mathcal{R}_c} \right)^2 = \frac{E_{\perp i}}{T_B} + \frac{(\beta c)^3 \sigma_S n_g t_r m\gamma}{T_B}. \end{aligned} \quad (26)$$

Определяя эффективный пинч-потенциал как  $U_0^* = I_b/I_A = 2T_B/(m\gamma(\beta c)^2)$  (здесь  $I_A = m\gamma\beta c^3/e$  — предельный ток Альфвена), из (26) имеем

$$\begin{aligned} G_f^{(i)} + G_f^{(i)} \hat{\Gamma}_f - G_i^{(i)} \hat{\Gamma}_i + G_f^{(i)} \ln \left( \frac{\mathcal{R}_f}{\mathcal{R}_c} \right)^2 \\ - G_i^{(i)} \ln \left( \frac{\mathcal{R}_i}{\mathcal{R}_c} \right)^2 = \frac{2E_{\perp i}}{m\gamma(\beta c)^2 U_0^*} + \frac{2L_r \sigma_S n_g}{U_0^*}, \end{aligned} \quad (27)$$

где  $L_r = t_r \beta c$ .

Определим далее изменение среднеквадратичного эмиттанса пучка в процессе транспортировки его до конечного равновесного состояния, а именно

$$\Delta E^2 = E_f^2 - E_i^2, \quad (28)$$

где  $E_f^2, E_i^2$  — соответственно начальное и конечное значения среднеквадратичного эмиттанса сегмента пучка.

Из уравнения (9) имеем

$$\frac{4T_B}{\gamma m \mathcal{R}_0} G_i^{(i)} = \frac{4E_i^2}{\gamma^2 \mathcal{R}_0^3}, \quad (29)$$

где  $\mathcal{R}_0$  — равновесный среднеквадратичный радиус, соответствующий начальному эмиттансу  $E_i$ .

Кроме того, из (29) находим

$$\frac{E_i^2}{(\gamma\beta c)^2} = \frac{\mathcal{R}_0^2}{2} U_0^* G_i^{(i)}, \quad (30)$$

где  $U_0^*$  было определено выше.

Поскольку РЭП в финальной стадии предполагается находящимся в равновесии, то по аналогии с (30) имеем

$$\frac{E_f^2}{(\gamma\beta c)^2} = \frac{\mathcal{R}_f^2}{2} U_0^* G_f^{(i)}. \quad (31)$$

Тогда из (30) и (31) следует, что

$$\frac{\Delta E^2}{(\gamma\beta c)^2} = \frac{E_f^2 - E_i^2}{(\gamma\beta c)^2} = \frac{U_0^*}{2} (\mathcal{R}_f^2 G_f^{(i)} - \mathcal{R}_0^2 G_i^{(i)}). \quad (32)$$

Далее на основе полученных уравнений (27)–(32) рассмотрим несколько упрощенных ситуаций.

В случае отсутствия процесса рассеяния ( $\sigma_S = 0$ ) для первоначально холодного пучка ( $E_{\perp i} = 0$ ) и случая  $\chi_b = \chi^{(i)}$  (радиальные профили пучка и канала совпадают) с учетом условий (1) из (27) имеем

$$1 + \hat{\Gamma}_f - \hat{\Gamma}_i + \ln \left( \frac{\mathcal{R}_f}{\mathcal{R}_i} \right)^2 = 0, \quad (33)$$

где было учтено, что в случае  $\chi_b = \chi^{(i)}$  имеет место соотношение  $\langle N^{(i)}(\mathbf{r}_{\perp}) \rangle_b = N^{(i)}/2$ . Последнее соотношение вместе с (1) приводит к условию  $G_i^{(i)} = G_f^{(i)}$ .

В силу того, что параметр  $\hat{\Gamma}$  слабо варьируется при изменении вида радиального профиля плотности тока пучка ( $\hat{\Gamma}_f - \hat{\Gamma}_i \ll 1$ ), из (33) имеем

$$\mathcal{R}_i = \mathcal{R}_f \sqrt{e}. \quad (34)$$

При выполнении условия  $G_i^{(i)} = G_f^{(i)}$  из (32) находим

$$\frac{\Delta E^2}{(\gamma\beta c)^2} = (\mathcal{R}_f^2 - \mathcal{R}_0^2) \frac{U_0^*}{2} G^{(i)}. \quad (35)$$

Далее выразим в (27)  $E_{\perp i}$  через равновесный радиус РЭП  $\mathcal{R}_0$ , соответствующий начальному эмиттансу. Предположим для простоты, что  $(d\mathcal{R}/dt)_i = 0$ . Тогда из (15) следует

$$E_{\perp i} = \frac{m}{\gamma \mathcal{R}_i^2} E_i^2. \quad (36)$$

Из уравнения огибающей (9) имеем

$$G^{(i)} T_B = \frac{m E_i^2}{\gamma \mathcal{R}_0^3}. \quad (37)$$

Тогда из (36) и (37) следует

$$\frac{2E_{\perp i}}{m\gamma(\beta c)^2 U_0^*} = \frac{\mathcal{R}_0^2}{\mathcal{R}_i^2} G^{(i)}. \quad (38)$$

Из (27) при отсутствии рассеяния имеем

$$1 + \hat{\Gamma}_f - \hat{\Gamma}_i + \ln \left( \frac{\mathcal{R}_f}{\mathcal{R}_i} \right)^2 = \left( \frac{\mathcal{R}_0}{\mathcal{R}_i} \right)^2. \quad (39)$$

При условии  $\hat{\Gamma}_f - \hat{\Gamma}_i \ll 1$  из (39) находим

$$\ln \left( \frac{\mathcal{R}_f}{\mathcal{R}_i} \right)^2 \simeq \left( \frac{\mathcal{R}_0}{\mathcal{R}_i} \right)^2 - 1. \quad (40)$$

Тогда при условии  $|\delta\mathcal{R}_0|/\mathcal{R}_0 \ll 1$  имеем

$$\left( \frac{\mathcal{R}_f}{\mathcal{R}_i} \right)^2 \approx 1 + 2 \left( \frac{\delta\mathcal{R}_0}{\mathcal{R}_0} \right)^2. \quad (41)$$

С учетом (41) из (35) следует

$$\Delta E^2 = (\gamma\beta c)^2 U_0^* G^{(i)} (\delta R_0^2). \quad (42)$$

При наличии процесса рассеяния для первоначально „холодного“ пучка ( $E_{\perp i} = 0$ ) из (27) имеем

$$\left( \frac{\mathcal{R}_f}{\mathcal{R}_i} \right)^2 \approx \left( 1 + 2 \frac{\delta\mathcal{R}_0}{\mathcal{R}_0} \right) \exp(\Psi), \quad (43)$$

где  $\Psi = 2L_r \sigma_S n_g / (G^{(i)} U_0^*)$ .

После подстановки (43) в (35) находим прирост среднеквадратичного эмиттанса в рассматриваемой ситуации

$$\Delta E^2 = (\gamma\beta c)^2 \frac{U_0^*}{2} \times G^{(i)} \mathcal{R}_0^2 \left[ \exp(\Psi) + 2 \exp(\Psi) \frac{\delta\mathcal{R}_0}{\mathcal{R}_0} - 1 \right]. \quad (44)$$

В качестве иллюстрации на рис. 1 и 2 для случая РЭП с энергией электронов  $E = 5 \text{ MeV}$  ( $\gamma = 10$ ),  $I_b = 10 \text{ kA}$ ,  $\mathcal{R}_0 = 1 \text{ cm}$ ,  $\mathcal{R}_i = 1.3 \text{ cm}$  и  $L_r \approx 3L_\beta = 6\pi\mathcal{R}_0 (U_0^* G^{(i)})^{-1/2}$  представлены графики зависимости  $\mathcal{R}_f/\mathcal{R}_i$  и

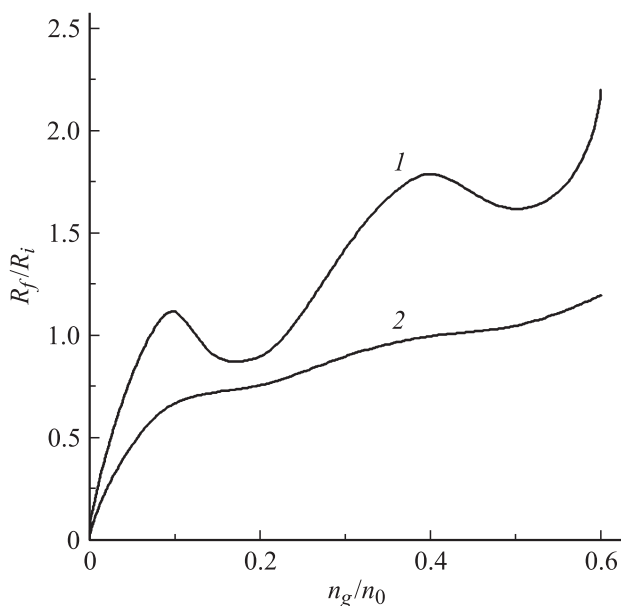


Рис. 1. Графики зависимости  $\mathcal{R}_f/\mathcal{R}_i$  от  $n_g/n_0$ . Кривая 1 соответствует случаю  $f_n = 0.2$ , кривая 2 —  $f_n = 0.5$ .

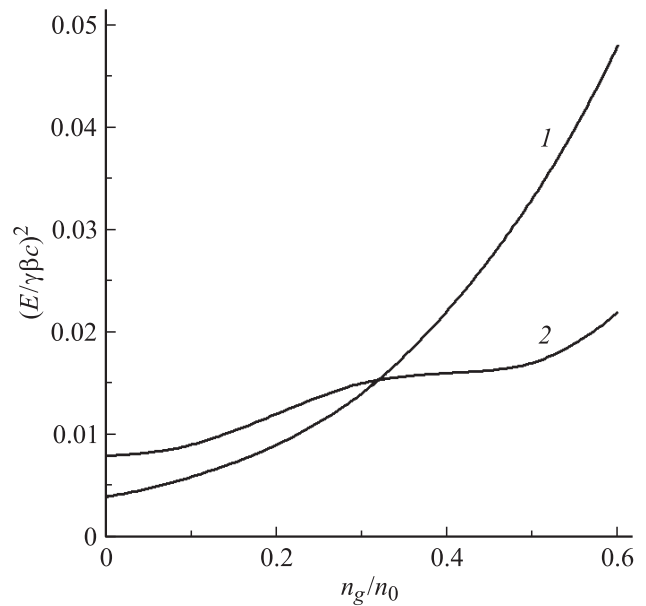


Рис. 2. Графики зависимости  $(\Delta E/(\gamma\beta c))^2$  от  $n_g/n_0$ . Кривая 1 соответствует случаю  $f_n = 0.2$ , кривая 2 —  $f_n = 0.5$ .

$\Delta E^2/(\gamma\beta c)^2$  от степени разряжения фонового газа  $n_g/n_0$  ( $n_0 = 2.6 \cdot 10^{19} \text{ cm}^{-3}$ ) для двух значений коэффициента зарядовой концентрации  $f_n = 0.2$  (кривая 1) и  $f_n = 0.5$  (кривая 2).

Нетрудно видеть, что процесс рассеяния и величина коэффициента зарядовой нейтрализации  $f_n$ , как и следовало ожидать, могут заметно повлиять на значение конечного равновесного радиуса  $\mathcal{R}_f$ , а также на прирост эмиттанса пучка.

## Заключение

В настоящей работе с помощью уравнения эволюции поперечной полной энергии сегмента параксиального аксиально-симметричного РЭП, распространяющегося в разреженной газоплазменной среде в режиме ионной фокусировки, получено уравнение, связывающее значение конечного равновесного радиуса пучка с его начальным неравновесным значением. Кроме того, сформулировано уравнение для определения прироста эмиттанса пучка в течение его выхода на равновесное состояние. Найденные уравнения обобщают результаты работ [7,8], полученных для случая транспортировки РЭП в омической плазме, на ситуацию распространения пучка в режиме ионной фокусировки.

Работа выполнена в рамках тематического плана фундаментальных НИР, выполняемых по заказу Министерства образования и науки РФ, № 6.0.10.2010.

## Список литературы

- [1] Рухадзе А.А., Богданкевич Л.С., Росинский С.Е., Рухлин В.Г. Физика сильноточных релятивистских электронных пучков. М.: Атомиздат, 1980. 167 с.
- [2] Диденко А.Н., Григорьев В.П., Усов Ю.П. Мощные электронные пучки и их применение. М.: Атомиздат, 1977. 277 с.
- [3] Миллер Р. Введение в физику сильноточных пучков заряженных частиц. М.: Мир, 1984. 432 с.
- [4] Колесников Е.К., Мануйлов А.С., Филиппов Б.В. Динамика пучков заряженных частиц в газоплазменных средах. СПб.: Изд-во СПбГУ, 2002. 98 с.
- [5] Vichapan H.L. // Phys. Fluids. 1987. Vol. 30. N 1. P. 221–231.
- [6] Колесников Е.К., Курьшев А.П., Филиппов Б.В. // Вестник ЛГУ. Сер. 1. 1979. № 13. С. 84–86.
- [7] Lee E.P., Yu S.S., Barletta W.A. // Nucl. Fusion. 1981. Vol. 21. N 8. P. 961–972.
- [8] Колесников Е.К., Мануйлов А.С. // ЖТФ. 1997. Т. 67. Вып. 7. С. 108–111.
- [9] Колесников Е.К., Мануйлов А.С. // ЖТФ. 2005. Т. 75. Вып. 7. С. 119–125.
- [10] Колесников Е.К., Мануйлов А.С. // ЖТФ. 2007. Т. 77. Вып. 8. С. 109–113.
- [11] Мануйлов А.С. // ЖТФ. 2005. Т. 75. Вып. 4. С. 103–108.
- [12] Колесников Е.К. // Физика плазмы. 2005. Т. 31. Вып. 10. С. 933–938.
- [13] Bosch R.A., Gilgenbach R.M. // Phys. Fluids. 1988. Vol. 31. N 3. P. 634–640.
- [14] Fernsler R.F., Hubbard R.F., Slinker S.P. // Phys. Fluids. B. 1992. Vol. 4. N 12. P. 4153–4165.
- [15] Владыко В.Б., Рудяк Ю.В. // Физика плазмы. 1993. Т. 19. Вып. 12. С. 1444–1453.
- [16] Swanekamp S.B., Holloway J.P., Kammash T., Gilgenbach R.M. // Phys. Fluids. B. 1992. Vol. 4. N 5. P. 1332–1348.
- [17] Виноградов С.В., Захарова С.С., Никулин М.Г. // ЖТФ. 1996. Т. 66. Вып. 1. С. 165–173.
- [18] Колесников Е.К., Мануйлов А.С. // РЭ. 1992. Т. 37. Вып. 4. С. 694–699.
- [19] Зеленский А.Г., Колесников Е.К. // ЖТФ. 1995. Т. 65. Вып. 5. С. 188–190.
- [20] Колесников Е.К., Савкин А.Д. // Письма в ЖТФ. 1994. Т. 20. Вып. 1. С. 54–56.